

МИНОБРНАУКИ РОССИИ  
ФЕДЕРАЛЬНОЕ ГОСУДАРСТВЕННОЕ БЮДЖЕТНОЕ ОБРАЗОВАТЕЛЬНОЕ  
УЧРЕЖДЕНИЕ  
ВЫСШЕГО ОБРАЗОВАНИЯ  
“ВОРОНЕЖСКИЙ ГОСУДАРСТВЕННЫЙ УНИВЕРСИТЕТ”

**Построение решений задач для уравнений с частными производными в  
Maxima**

**Учебное пособие для вузов**

Составители: С. А. Ткачева,  
Л. В. Безручкина,  
А.С. Рябенко,  
П. В. Садчиков

Воронеж

2021

Утверждено научно-методическим советом математического  
факультета

от 27.05.2021 года протокол № 0500-05

Рецензент: к.ф-м. н., доцент кафедры математического моделирования  
математического факультета Воронежского государственного университета  
Савченко Г.Б.

Учебно-методическое пособие подготовлено на кафедре уравнений в  
частных производных и теории вероятностей математического факультета  
Воронежского государственного университета

Рекомендуется для студентов 2-го и 4-5 курсов математического  
факультета очной формы обучения, обучающихся по направлениям  
01.03.01 Математика, 02.03.01 Математика и компьютерные науки, 01.03.04  
Прикладная математика и по специальностям 01.05.01 Фундаментальная  
математика и механика, 10.05.04 Информационно-аналитические системы  
безопасности

## Система символьной математики Maxima

**Maxima** - еще одна программа для выполнения математических вычислений, символьных преобразований, а также построения разнообразных графиков. Сложные вычисления оформляются в виде отдельных процедур, которые затем могут быть использованы при решении других задач. Система **Maxima** распространяется под лицензией GPL и доступна как пользователям ОС Linux, так и пользователям Windows. Подробности по истории системы, инсталляционный модуль (размером всего в 10 MB), документацию, исходный код и другую сопутствующую информацию можно найти на Web-узле пакета <http://maxima.sourceforge.net>. Выбор программы в меню **Пуск vxmaxima** позволит начать сеанс работы с этой программой.

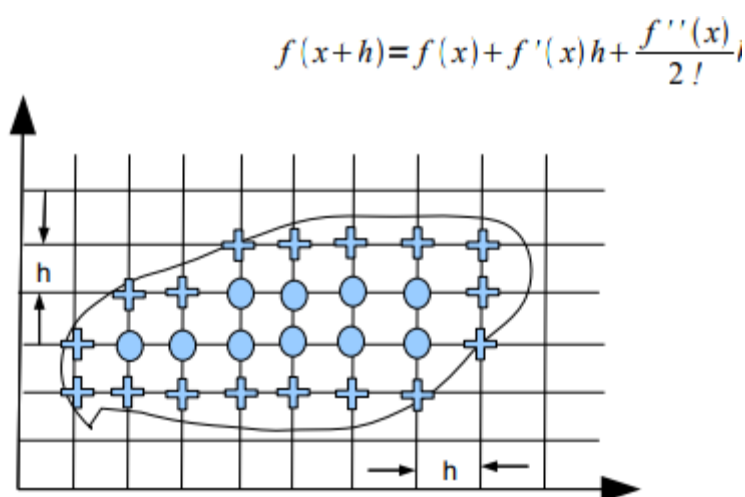
### Метод сеток для решения дифференциальных уравнений в частных производных

Дифференциальные уравнения в частных производных имеют широкие приложения в математической физике, гидродинамике и других областях знаний. В большинстве своем такие уравнения в явном виде не решаются. Поэтому широкое распространение получили методы приближенного их решения, в частности, метод сеток. Метод сеток или метод конечных разностей является наиболее распространенным и эффективным методом численного решения для уравнений математической физики. Для решения дифференциального уравнения методом конечных разностей (сеток) сначала область, на которой ищется решение, заменяется дискретным множеством точек (разностной сеткой). В этом методе, как правило, используются регулярные сетки, шаг которых либо постоянен, либо меняется по несложному закону. Численные методы решения

обыкновенных дифференциальных уравнений и систем рассмотрены более подробно в пособиях [1], [2].

Пусть в качестве области изменения функции задан прямоугольник. Оси  $x$  и  $y$  разбиваются на отрезки, которые являются шагами сетки по соответствующим направлениям. Через точки деления проводятся прямые, параллельные осям координат. Совокупность точек пересечения (узлов) этих прямых и образует сетку в заданной двумерной области. Узлы, расстояние между которыми равно шагу сетки по одной из осей, называются соседними.

Способ построения сетки не меняется и в том случае, если задана область произвольной формы. Узлы сетки, попавшие внутрь области, называются внутренними узлами. Точки пересечения прямых, образующих сетку, с границей области называются граничными узлами. Для двумерной области произвольной формы сетка в общем случае всегда является нерегулярной, причем особенности геометрии учитываются только в около граничных точках.



На рисунке внутренние точки области обозначены кружками, граничные — крестиками. Решение уравнения в частных производных

ищется во внутренних точках области, в граничных точках области оно задается граничными условиями.

Прежде чем приступить к решению дифференциального уравнения, оно само и граничные условия заменяются разностными аналогами. Запишем ряд Тейлора для функции  $f(x)$ :

$$f(x+h) = f(x) + f'(x)h + \frac{f''(x)}{2!}h^2 + \dots$$

Если оборвать этот ряд на втором члене, то получим

$$f(x+h) = f(x) + f'(x)h \quad , \text{ или } \quad f'(x) \approx \frac{f(x+h) - f(x)}{h} .$$

Выражение, стоящее в правой части, называется правой разностной производной. Она аппроксимирует первую производную  $f'(x)$  в точке  $x$ .

В разложении Тейлора функции  $f(x)$  можно заменить  $h$  на  $-h$  и получить левую разностную производную

$$f'(x) \approx \frac{f(x) - f(x-h)}{h} .$$

$$\text{Вычитая } f(x-h) \approx f(x) - f'(x)h$$

из

$$f(x+h) \approx f(x) + f'(x)h,$$

получаем центральную разностную производную

$$f'(x) \approx \frac{1}{2h} [f(x+h) - f(x-h)] .$$

Если в ряде Тейлора оставить третий член ряда, то можно получить центральную разностную производную для аппроксимации  $f''(x)$ :

$$f''(x) \approx \frac{1}{h} [f(x+h) - 2f(x) + f(x-h)] .$$

Если исходить из разложения Тейлора функции двух переменных

$$u(x+h, y) = u(x, y) + u_x(x, y)h + u_{xx}(x, y)\frac{h^2}{2!} + \dots ,$$

$$u(x-h, y) = u(x, y) - u_x(x, y)h + u_{xx}(x, y)\frac{h^2}{2!} + \dots ,$$

то можно получить следующие аппроксимации частных производных:

$$u_x(x, y) \approx \frac{u(x+h, y) - u(x, y)}{h} ,$$

$$u_{xx}(x, y) \approx \frac{1}{h^2} [u(x+h, y) - 2u(x, y) + u(x-h, y)] ,$$

$$u_y(x, y) \approx \frac{u(x, y+k) - u(x, y)}{k} ,$$

$$u_{yy}(x, y) \approx \frac{1}{k^2} [u(x, y+k) - 2u(x, y) + u(x, y-k)]$$

Разностные операторы, соответствующие дифференциальному уравнению, записываются во внутренних узлах сетки. Разностные операторы, соответствующие граничным условиям, записываются в граничных узлах сетки. В результате получаем систему алгебраических уравнений, число которых пропорционально числу внутренних узлов сеточной области. Для получения численного решения требуется решить эту систему уравнений.

При реализации вычислений на ЭВМ удобно использовать обозначения:

$$u(x, y) = u_{i,j}, \quad u(x, y+k) = u_{i+1,j}, \quad u(x, y-k) = u_{i-1,j},$$

$$u(x+h, y) = u_{i,j+1}, \quad u(x-h, y) = u_{i,j-1},$$

$$u_x(x, y) = \frac{1}{2h} [u_{i,j+1} - u_{i,j-1}], \quad u_x(x, y) = \frac{1}{2k} [u_{i+1,j} - u_{i-1,j}]$$

$$u_{xx}(x, y) = \frac{1}{h^2} [u_{i,j+1} - 2u_{i,j} + u_{i,j-1}], \quad u_{yy}(x, y) = \frac{1}{k^2} [u_{i+1,j} - 2u_{i,j} + u_{i-1,j}]$$

**Пример 1.** Рассмотрим задачу теплопроводности в стержне, начальная температура которого равна нулю. Пусть температура левого конца фиксирована, а на правом конце происходит теплообмен с окружающей средой, так что тепловой поток пропорционален разности температур конца стержня и среды. Температура среды определяется функцией  $g(t)$ . Найти решение следующей задачи:

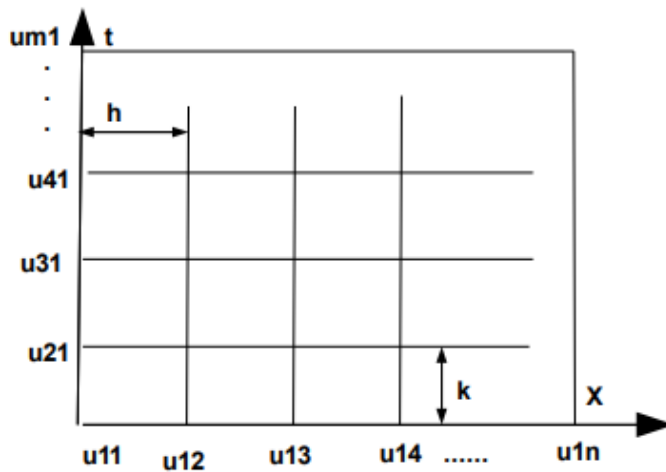
$$\frac{\partial u}{\partial t} = \frac{\partial^2 u}{\partial x^2}, \quad 0 < x < 1, \quad 0 < t < \infty$$

$$u(0, t) = 1,$$

$$\frac{\partial u(1, t)}{\partial x} = -[u(1, t) - g(t)] \quad 0 < t < \infty,$$

$$u(x, 0) = 0, \quad 0 \leq x \leq 1$$

**Решение.** Построим в плоскости прямоугольную сетку,



узлы которой определяются формулами:

$$x_j = jh, \quad j = 0, 1, 2, \dots, n, \quad t_i = ik, \quad i = 0, 1, 2, \dots, m.$$

Значения  $u_{ij}$  на левой и нижней сторонах сетки известны из граничных и начальных условий. Наша задача состоит в отыскании остальных значений  $u_{ij}$ .

Для решения задачи заменим частные производные в уравнении теплопроводности их конечно-разностными аппроксимациями

$$u_t(x, t) \approx \frac{u(x, t + k) - u(x, t)}{k} = \frac{1}{k} [u_{i+1,j} - u_{i,j}] ,$$

$$\begin{aligned} u_{xx}(x, t) &\approx \frac{1}{h^2} [u(x + h, t) - 2u(x, t) + u(x - h, t)] \\ &= \frac{1}{h^2} [u_{i+1,j} - 2u_{i,j} + u_{i,j-1}] \end{aligned}$$

Подставим эти выражения в наше уравнение  $u_t = u_{xx}$  и разрешим получившееся уравнение относительно значений функции на верхнем временном слое. Имеем:

$$\frac{1}{k} [u_{i+1,j} - u_{i,j}] = \frac{1}{h^2} [u_{i+1,j} - 2u_{i,j} + u_{i,j-1}]$$



Отсюда

$$u_{i+1,j} = \frac{k}{h^2} [u_{i+1,j} - 2u_{i,j} + u_{i,j-1}] + u_{i,j} \quad (1)$$

Полученная формула выражает решение в данный момент времени через решение в предыдущий момент времени (индекс  $i$  относится к временной переменной).

Аппроксимируем производную в граничном условии  $u_x(1,t) = -[u(1,t) - g(t)]$  на правом конце, заменив  $u_x(1,t)$  левой разностной производной, поскольку правая разностная производная требует значений функции за пределами сетки:

$$\frac{1}{h} [u_{i,n} - u_{i,n-1}] = -[u_{i,n} - g_i] , \quad g_i = g(ik) .$$

Отсюда находим:

$$u_{i,n} = \frac{u_{i,n-1} - hg_i}{1 + h} .$$

Таким образом, для решения поставленной задачи мы будем использовать явную схему бегущего счета: заменяя частные производные по времени и пространственной переменной конечно-разностными производными, получаем явные выражения для  $u_{i,j}$  через значения функции  $u$  в предыдущие моменты времени.

*Шаг 1.* Находим решение на сеточном слое  $t=\Delta t$  , используя явную формулу (1).

*Шаг 2.* Величину  $u_{2,n}$  находим по формуле (2).

Выполнив шаги 1-2, получаем решение для  $t=\Delta t$ . Повторив шаги 1-2, получаем решение при  $t=2\Delta t$  и далее.

Недостаток явной схемы: если шаг по времени оказывается достаточно большим по сравнению с шагом по  $x$ , погрешности округления могут стать настолько большими, что полученное решение теряет смысл. Отношение шагов по  $t$  и  $x$  зависит от уравнения и граничных условий. Для применимости явной схемы должно выполняться условие  $k/h^2 \leq 0,5$ . В противном случае метод будет численно не устойчив.

**Пример 2.** Найти решение следующей начально-краевой задачи для волнового уравнения:

$$\begin{cases} \frac{\partial^2 u}{\partial t^2} - a^2 \frac{\partial^2 u}{\partial x^2} = 0, 0 \leq x \leq m, 0 \leq t \leq n \\ u(x, 0) = 0, 2x \cos\left(\frac{\pi x}{2}\right), \quad \left. \frac{\partial u}{\partial t} \right|_{t=0} = 0 \\ u(0, t) = u(m, t) = 0 \end{cases}$$

**Решение.** Пусть  $m=40$ ,  $n=50$ , шаг изменения пространственной переменной:  $h=1$ . Заменяем частные производные в уравнении их разностными аппроксимациями

$$\begin{aligned} u_{xx}(x, t) &\approx \frac{1}{h^2} [u(x+h, t) - 2u(x, t) + u(x-h, t)] \\ &= \frac{1}{h^2} [u_{i+1,j} - 2u_{i,j} + u_{i-1,j}] \end{aligned}$$

$$u_{tt}(x, t) = \frac{1}{k^2} [u_{i+1,j} - 2u_{i,j} + u_{i-1,j}]$$

Получим

$$\frac{1}{h^2} [u_{i,j+1} - 2u_{i,j} + u_{i,j-1}] = \frac{1}{a^2 k^2} [u_{i+1,j} - 2u_{i,j} + u_{i-1,j}]$$

Выразим значение  $u_{i+1,j}$ :

$$u_{i+1,j} = \frac{a^2 k^2}{h^2} [u_{i,j+1} - 2u_{i,j} + u_{i,j-1}] + 2u_{i,j} - u_{i-1,j}$$

Полученная явная разностная схема будет устойчивой, если  $\frac{a^2 k^2}{h^2} \leq 0,5$ ,

Следовательно,  $k \leq \sqrt{0,5} \frac{h}{a}$

Решение задачи можно представить в виде алгоритма

1. Вводим сетку:  $m=40$ ,  $n=50$ ,  $h=1$ . Создаем нулевой массив значений  $u_{i,j}$  размера  $m \times n$ .
2. Задаем значения  $a=1$ ,  $k=0,1$ .
3. Заполняем первую и вторую строки массива и начальными условиями  $u(x,0) = 0,2x \cos\left(\frac{\pi x}{2}\right)$ ,  $\left. \frac{\partial u}{\partial t} \right|_{t=0} = 0$  (нулевой начальной скорости соответствует совпадение значений (смещений) в первом и втором столбцах).
4. Заполняем первый и последний столбец массива и граничными условиями  $u(0,t) = u(m,t) = 0$  (на концах струны смещение равно нулю в любой момент времени).
5. Находим решение, используя разностную схему

$$u_{i+1,j} = \frac{a^2 k^2}{h^2} [u_{i,j+1} - 2u_{i,j} + u_{i,j-1}] + 2u_{i,j} - u_{i-1,j}.$$

Также можно использовать и неявные разностные схемы. В этом случае частные производные заменяются конечно-разностными

аппроксимациями, но  $u_{i+1,j}$  не выражаются в явном виде через значения на предыдущих слоях. Для определения  $u_{i+1,j}$  на каждом временном шаге необходимо решать систему уравнений. При использовании неявных схем можно вести вычисления с достаточно большим шагом. Преимущество неявных схем перед явными в том, что в неявных схемах шаг сетки можно сделать достаточно большим, не опасаясь, что ошибки округления приведут к неверному решению.

Приведем реализацию метода сеток для дифференциальных уравнений в частных производных на рассмотренном примере. Выполним реализацию конечно-разностного метода в системе компьютерной математики Maxima.

**Пример 3.** Решить следующую задачу:

$$\begin{cases} \frac{\partial^2 u}{\partial t^2} - \frac{\partial^2 u}{\partial x^2} = 0, 0 \leq x \leq m, 0 \leq t \leq n \\ u(x, 0) = 0, 2x \cos\left(\frac{\pi x}{2}\right), \quad \left. \frac{\partial u}{\partial t} \right|_{t=0} = 0 \\ u(0, t) = u(m, t) = 0 \end{cases}$$

**Решение:** Вводим сетку:  $m=40$ ,  $n=50$ ,  $h=1$ , предварительно убираем из Maxima результаты предыдущих вычислений. Создаем нулевой массив значений  $u$  размера  $m \times n$ .

```
(%i3) kill(all)$m:40$n:50$h:1$
```

```
(%i4) for i:1 thru m do for j:1 thru n do (arraymake (u, [i,j]), u[i,j]:0)$
```

Задаем значения  $a=1$ ,  $k=0,1$ .

```
(%i6) a:1$k:0.01$
```

Заполняем первую и вторую строки массива  $u$  начальными условиями

$$u(x, 0) = 0, 2x \cos\left(\frac{\pi x}{2}\right), \quad \left.\frac{\partial u}{\partial t}\right|_{t=0} = 0 \quad (\text{нулевой начальной скорости})$$

соответствует совпадение значений (смещений) в первом и втором столбцах).

```
(%i7) for j:1 thru n do (u[1,j]:0.2·j·cos(%pi·j/2), u[2,j]:u[1,j])$
```

Заполняем первый и последний столбец массива  $u$  граничными условиями  $u(0, t) = u(m, t) = 0$  (на концах струны смещение равно нулю в любой момент времени).

```
(%i8) for i:1 thru m do (u[i,1]:0, u[i,n]:0)$
```

Находим решение, используя разностную схему

$$u_{i+1,j} = \frac{a^2 k^2}{h^2} [u_{i,j+1} - 2u_{i,j} + u_{i,j-1}] + 2u_{i,j} - u_{i-1,j}.$$

```
(%i9) for i:2 thru m-1 do for j:2 thru n-1 do
u[i+1,j]:float((a·k/h)^2·(u[i,j+1]-
2·u[i,j]+u[i,j-1])+2·u[i,j]-u[i-1,j]),number)$
```

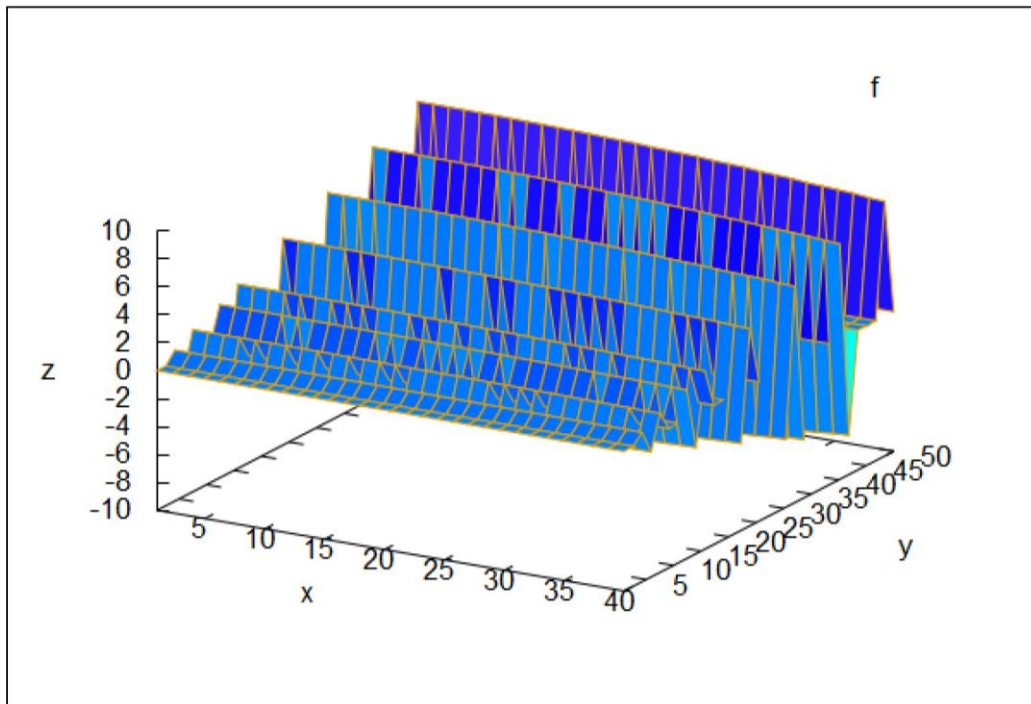
Для вывода полученного решения в виде поверхности преобразуем наш массив  $u$  в функцию двух переменных:

```
(%i10) f(x,y):=float(u[round(x),round(y)])$
```

Построим график

```
(%i12) wxplot3d(f, [x,1,m], [y,1,n], [plot_format,gnuplot])$
```

(%t11)



Далее приведем алгоритм решения начально-граничной задачи для уравнения теплопроводности, рассмотренной в примере 1.

**Пример 4.** Методом сеток с шагом  $h = 1$  пространственной переменной и  $k=1$  временной координаты найти приближенное решение уравнения теплопроводности:

$$\frac{\partial u}{\partial t} = c \frac{\partial^2 u}{\partial x^2}$$

(где  $x$  - смещение,  $t$  - время) в квадрате  $[0, n] \times [0, n]$ , используя явную разностную схему.

Граничные условия:

$$u(0, t) = g_1(t) = \alpha \quad (x=0, 0 \leq t \leq n)$$

$$u(n, t) = g_2(t) = \alpha \quad (x=n, 0 \leq t \leq n)$$

Начальное условие:

$$u(x, 0) = \sin\left(\frac{\pi x}{n}\right) + \frac{x}{n}\beta + \frac{n-x}{n}\alpha \quad (t=0, 0 \leq x \leq n)$$

Результат представить в виде графика поверхности.

Рассмотрим случай  $n=30$ ,  $c=5$ ,  $\alpha = -1$ ,  $\beta = 1$ .

Приведем результат решения в программе Maxima:

```
(%i3) kill(all)$m:30$n:30$h:1$

(%i4) for i:1 thru m do for j:1 thru n do (arraymake (u, [i,j]), u[i,j]:0)$

(%i6) c:5$ k:0.01$

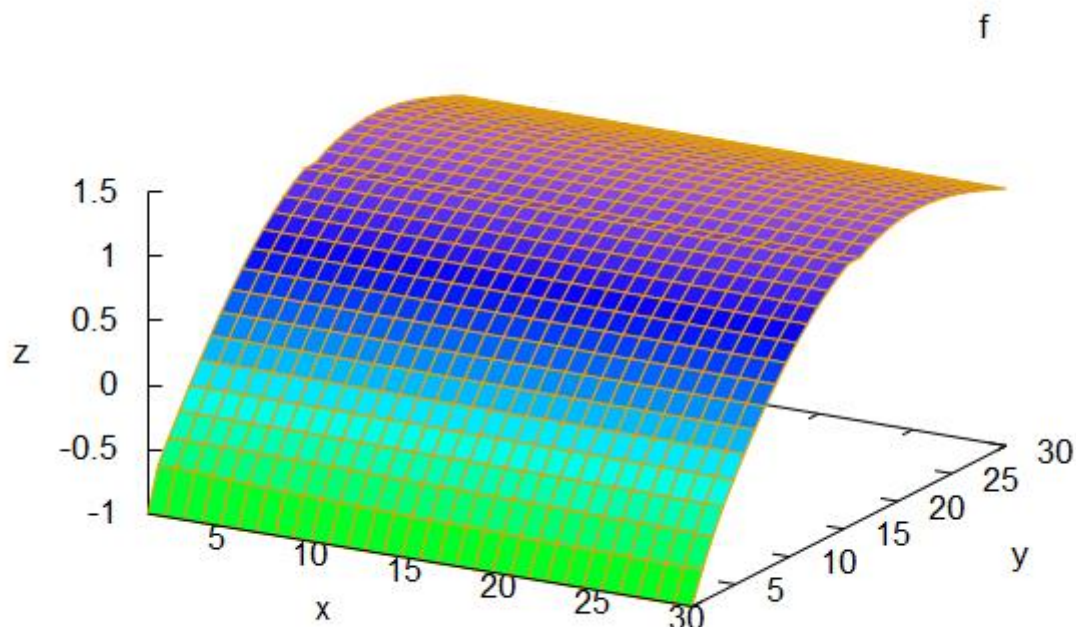
(%i7) for j:1 thru n do (u[1,j]:sin(%pi*j/n)+j/n-(n-j)/n, u[2,j]:u[1,j])$

(%i8) for i:1 thru m do (u[i,1]:(-1), u[i,n]:1)$

(%i9) for i:2 thru m-1 do for j:2 thru n-1 do
u[i+1,j]:float((c-k/(h^2))·(u[i,j+1]-
2·u[i,j]+u[i,j-1]))+u[i,j]),number$

(%i10) f(x,y):=float(u[round(x),round(y)])$

(%i11) wxplot3d(f, [x,1,m], [y,1,n], [plot_format,gnuplot])$
```



## Задания для лабораторных работ

### 1. Лабораторная работа. Метод сеток для волнового уравнения

Методом сеток с шагом  $h$  найти приближенное решение волнового уравнения:

$$\frac{\partial^2 u}{\partial t^2} - a^2 \frac{\partial^2 u}{\partial x^2} = 0$$

(где  $x$  - смещение,  $t$  - время) в прямоугольной области  $[0, m] \times [0, n]$ , используя явную разностную схему. Граничные условия: на концах струны смещение равно нулю в любой момент времени:  $u(0, t) = u(m, t) = 0$ .

Начальные условия:  $u(x, 0) = \varphi(x)$ ,  $\left. \frac{\partial u}{\partial t} \right|_{t=0} = 0$ .

Так как концы струны закреплены, то  $\varphi(0) = \varphi(m) = 0$ . Шаг изменения времени подбирается самостоятельно (так, чтобы разностная схема была устойчивой). Результат представить в виде графика поверхности.

1.  $a = 1, \quad m = 42, \quad n = 30, \quad h = 1, \quad \varphi(x) = 0,1x \sin\left(\frac{\pi x}{21}\right).$

2.  $a = 1, \quad m = 36, \quad n = 25, \quad h = 1, \quad \varphi(x) = \sin\left(\frac{\pi x}{9}\right) \cos(\pi x).$

3.  $a = 1, \quad m = 39, \quad n = 45, \quad h = 1, \quad \varphi(x) = 0,2x \cos\left(\frac{\pi x}{2}\right).$

4.  $a = 1, \quad m = 40, \quad n = 30, \quad h = 1, \quad \varphi(x) = 0,2x \sin\left(\frac{\pi x}{43}\right).$

5.  $a = 1, \quad m = 35, \quad n = 25, \quad h = 1, \quad \varphi(x) = \sin\left(\frac{\pi x}{11}\right) \cos(\pi x).$



6.  $a=1, \quad m=36, \quad n=44, \quad h=1, \quad \varphi(x)=0,3x\cos\left(\frac{\pi x}{4}\right).$
7.  $a=1, \quad m=41, \quad n=28, \quad h=1, \quad \varphi(x)=0,3x\sin\left(\frac{\pi x}{33}\right).$
8.  $a=1, \quad m=40, \quad n=30, \quad h=1, \quad \varphi(x)=\sin\left(\frac{\pi x}{7}\right)\cos(\pi x).$
9.  $a=1, \quad m=40, \quad n=43, \quad h=1, \quad \varphi(x)=0,25x\cos\left(\frac{\pi x}{4}\right).$
10.  $a=1, \quad m=40, \quad n=30, \quad h=1, \quad \varphi(x)=0,25x\sin\left(\frac{\pi x}{35}\right).$
11.  $a=1, \quad m=45, \quad n=35, \quad h=1, \quad \varphi(x)=\sin\left(\frac{\pi x}{9}\right)\cos\left(\frac{\pi x}{2}\right).$
12.  $a=1, \quad m=45, \quad n=40, \quad h=1, \quad \varphi(x)=0,15x\cos\left(\frac{\pi x}{2}\right).$
13.  $a=1, \quad m=40, \quad n=30, \quad h=1, \quad \varphi(x)=0,15x\sin\left(\frac{\pi x}{25}\right).$
14.  $a=1, \quad m=37, \quad n=24, \quad h=1, \quad \varphi(x)=\sin\left(\frac{\pi x}{10}\right)\cos(\pi x).$
15.  $a=1, \quad m=39, \quad n=45, \quad h=1, \quad \varphi(x)=0,1x\cos\left(\frac{\pi x}{2}\right).$
16.  $a=1, \quad m=50, \quad n=40, \quad h=1, \quad \varphi(x)=0,5x\sin\left(\frac{\pi x}{5}\right).$
17.  $a=1, \quad m=47, \quad n=34, \quad h=1, \quad \varphi(x)=\sin\left(\frac{\pi x}{6}\right)\cos(\pi x).$
18.  $a=1, \quad m=49, \quad n=35, \quad h=1, \quad \varphi(x)=0,7x\cos\left(\frac{\pi x}{4}\right).$
19.  $a=1, \quad m=40, \quad n=50, \quad h=1, \quad \varphi(x)=0,45x\sin\left(\frac{\pi x}{6}\right).$

$$20. a=1, \quad m=55, \quad n=35, \quad h=1, \quad \varphi(x) = \sin\left(\frac{\pi x}{4}\right) \cos\left(\frac{\pi x}{4}\right).$$

$$21. a=4, \quad m=40, \quad n=35, \quad h=1, \quad \varphi(x) = 0,35x \cos\left(\frac{\pi x}{2}\right)$$

$$22. a=3, \quad m=45, \quad n=35, \quad h=1, \quad \varphi(x) = \sin\left(\frac{\pi x}{3}\right) \cos\left(\frac{\pi x}{4}\right).$$

$$23. a=1, \quad m=55, \quad n=45, \quad h=1, \quad \varphi(x) = 0,95x \cos\left(\frac{\pi x}{8}\right).$$

$$24. a=2, \quad m=47, \quad n=53, \quad h=1, \quad \varphi(x) = 0,35x \sin\left(\frac{\pi x}{8}\right).$$

$$25. a=5, \quad m=44, \quad n=34, \quad h=1, \quad \varphi(x) = \sin\left(\frac{\pi x}{3}\right) \cos\left(\frac{\pi x}{2}\right).$$

## 2. Лабораторная работа. Метод сеток для уравнения теплопроводности

Методом сеток с шагом  $h=1$  пространственной переменной и  $k=1$  временной координаты найти приближенное решение уравнения теплопроводности:  $\frac{\partial u}{\partial t} - c \frac{\partial^2 u}{\partial x^2} = 0$  (где  $x$  - смещение,  $t$  - время) в квадрате  $[0, n] \times [0, n]$ , используя явную разностную схему.

Граничные условия:

$$u(0, t) = g_1(t) = \alpha \quad (x=0, 0 \leq t \leq n)$$

$$u(n, t) = g_2(t) = \alpha \quad (x=n, 0 \leq t \leq n)$$

Начальное условие:

$$u(x, 0) = \sin\left(\frac{\pi x}{n}\right) + \frac{x}{n} \beta + \frac{n-x}{n} \alpha \quad (t=0, 0 \leq x \leq n).$$

Результат представить в виде графика поверхности.

$$1. \quad n=30, \quad c=5, \quad \alpha=-1, \quad \beta=1.$$

2.  $n=50, c=3, \alpha=2, \beta=3.$
3.  $n=10, c=4, \alpha=-1, \beta=0.$
4.  $n=20, c=3, \alpha=1, \beta=1.$
5.  $n=50, c=10, \alpha=2, \beta=1.$
6.  $n=40, c=5, \alpha=-1, \beta=-1.$
7.  $n=25, c=4, \alpha=-1, \beta=1.$
8.  $n=45, c=10, \alpha=2, \beta=2.$
9.  $n=10, c=3, \alpha=-1, \beta=0.$
10.  $n=45, c=4, \alpha=1, \beta=2.$
11.  $n=50, c=5, \alpha=1, \beta=1.$
12.  $n=30, c=4, \alpha=-2, \beta=2.$
13.  $n=55, c=3, \alpha=1, \beta=1.$
14.  $n=15, c=4, \alpha=-1, \beta=-1.$
15.  $n=60, c=5, \alpha=1, \beta=3$
16.  $n=35, c=10, \alpha=1, \beta=2.$
17.  $n=25, c=15, \alpha=-1, \beta=3.$
18.  $n=40, c=20, \alpha=0, \beta=1.$
19.  $n=45, c=10, \alpha=3, \beta=2.$
20.  $n=15, c=20, \alpha=-1, \beta=2.$
21.  $n=50, c=15, \alpha=-1, \beta=3.$
22.  $n=60, c=1, \alpha=-2, \beta=-1.$
23.  $n=40, c=25, \alpha=-2, \beta=-2.$
24.  $n=30, c=15, \alpha=0, \beta=-3.$
25.  $n=35, c=10, \alpha=-3, \beta=-1.$

### 3. Лабораторная работа. Метод сеток для уравнения диффузии

Методом сеток с шагом  $h=1$  найти приближенное решение уравнения диффузии:  $\frac{\partial u}{\partial t} - d \frac{\partial^2 u}{\partial x^2} = 0$  (где  $x$  - смещение,  $t$  - время) в прямоугольной области  $[0, a] \times [0, b]$ , используя явную разностную схему. Граничные условия:

$$u(0, t) = g_1(t) = \alpha(x=0, 0 \leq t \leq n)$$

$$u(n, t) = g_2(t) = \alpha(x=a, 0 \leq t \leq n).$$

Начальное условие:

$$u(x, 0) = f(x) \quad (t=0, 0 \leq x \leq a).$$

Шаг изменения времени выбирается самостоятельно (так, чтобы разностная схема была устойчивой). Результат представить в виде графика поверхности.

1.  $d=1, a=60, b=50, h=1, f(x)=\sin(x), g_1(t)=0, g_2(t)=\sin 60^\circ$ .
2.  $d=2, a=40, b=60, h=1, f(x)=\cos(x), g_1(t)=1, g_2(t)=\cos 40^\circ$ .
3.  $d=10, a=30, b=20, h=1, f(x)=\sin\left(\frac{x}{2}\right), g_1(t)=0, g_2(t)=\sin 15^\circ$ .
4.  $d=3, a=50, b=60, h=1, f(x)=2\sin(x), g_1(t)=0, g_2(t)=\sin 45^\circ$ .
5.  $d=2, a=50, b=60, h=1, f(x)=2\cos(x), g_1(t)=1, g_2(t)=\cos 45^\circ$ .
6.  $d=10, a=40, b=20, h=1, f(x)=2\sin\left(\frac{x}{2}\right), g_1(t)=0, g_2(t)=\sin 30^\circ$ .
7.  $d=5, a=25, b=30, h=1, f(x)=\sin\left(\frac{x}{3}\right), g_1(t)=0, g_2(t)=\sin 15^\circ$ .
8.  $d=10, a=40, b=55, h=1, f(x)=2\cos\left(\frac{x}{2}\right), g_1(t)=1, g_2(t)=\cos 15^\circ$ .

9.  $d = 10, a = 30, b = 20, h = 1, f(x) = 2\sin\left(\frac{x}{3}\right), g_1(t) = 0, g_2(t) = \sin 45^\circ.$
10.  $d = 6, a = 45, b = 55, h = 1, f(x) = 2\sin\left(\frac{x}{4}\right), g_1(t) = 0, g_2(t) = \sin 15^\circ.$
11.  $d = 4, a = 45, b = 65, h = 1, f(x) = 2\cos\left(\frac{x}{4}\right), g_1(t) = 1, g_2(t) = \cos 10^\circ.$
12.  $d = 10, a = 35, b = 25, h = 1, f(x) = 0,5\sin\left(\frac{x}{4}\right), g_1(t) = 0, g_2(t) = \sin 10^\circ$
13.  $d = 5, a = 25, b = 50, h = 1, f(x) = 3\sin\left(\frac{x}{2}\right), g_1(t) = 0, g_2(t) = \sin 45^\circ.$
14.  $d = 7, a = 30, b = 60, h = 1, f(x) = 3\cos\left(\frac{x}{4}\right), g_1(t) = 1, g_2(t) = \cos 30^\circ.$
15.  $d = 8, a = 25, b = 45, h = 1, f(x) = 3\sin\left(\frac{x}{2}\right), g_1(t) = 0, g_2(t) = \sin 40^\circ.$
16.  $d = 2, a = 55, b = 25, h = 1, f(x) = \frac{1}{4}\sin\left(\frac{x}{2}\right), g_1(t) = 0, g_2(t) = \sin 60^\circ.$
17.  $d = 9, a = 50, b = 35, h = 1, f(x) = \frac{1}{2}\cos\left(\frac{x}{2}\right), g_1(t) = 1, g_2(t) = \cos 60^\circ.$
18.  $d = 3, a = 35, b = 45, h = 1, f(x) = \frac{1}{2}\sin(x), g_1(t) = 0, g_2(t) = \sin 45^\circ.$
19.  $d = 5, a = 30, b = 20, h = 1, f(x) = \frac{1}{4}\sin(x), g_1(t) = 0, g_2(t) = \sin 30^\circ.$
20.  $d = 1, a = 50, b = 35, h = 1, f(x) = \frac{1}{4}\cos(x), g_1(t) = 1, g_2(t) = \cos 15^\circ.$
21.  $d = 6, a = 35, b = 25, h = 1, f(x) = \frac{1}{2}\sin\left(\frac{x}{6}\right), g_1(t) = 0, g_2(t) = \sin 40^\circ.$
22.  $d = 1, a = 30, b = 25, h = 1, f(x) = 0.1\sin(x), g_1(t) = 0, g_2(t) = \sin 30^\circ.$
23.  $d = 10, a = 25, b = 45, h = 1, f(x) = 0.1\cos(x), g_1(t) = 1, g_2(t) = \cos 15^\circ.$

24.  $d = 5, a = 40, b = 25, h = 1, f(x) = 0.1 \sin\left(\frac{x}{2}\right), g_1(t) = 0, g_2(t) = \sin 60^\circ.$

25.  $d = 10, a = 25, b = 45, h = 1, f(x) = 0.1 \cos(x), g_1(t) = 1, g_2(t) = \cos 15^\circ.$

### Список литературы

1. Губина Т. Н. Решение дифференциальных уравнений в системе компьютерной математики МАХІМА / Т. Н Губина, Е. В. Андропова. – Елец, ЕГУ им. И. А. Бунина, 2009. – 49 с.
2. Ткачева С. А. Символьные вычисления в системах компьютерной математики / С. А Ткачева, П. В. Садчиков, Л. В. Безручкина. – Воронеж: Издательский дом ВГУ, 2020. – 69 с.

*Учебное издание*

Введение в теорию нелинейных параболических задач

Учебное пособие для вузов

Составители: Ткачева Светлана Анатольевна,  
Безручкина Людмила Валентиновна,  
Рябенко Александр Сергеевич,  
Садчиков Павел Валерьевич